

Spectroscopie optique de  $Mg^+$  et  $Be^+$ 

Expériences sur  $Mg^+$  utilisant 2 lasers (T1 à T2)

Etude d'un ion  $Mg^+$  unique dans un piège de Penning (T3 à T4)

Ion unique  $Mg^+$  dans un piège de Paul (T5 à T6)

Structures fine et hyperfine du niveau  ${}^2P_{1/2}$  de  ${}^9Be^+$  (T7 à T8)

Généralités sur la spectroscopie microonde ou RF des ions piégés

Les problèmes à résoudre. Nécessité d'une détection sensible (T9)

Les méthodes utilisées

Collisions avec des faisceaux de particules neutres polarisées (T10)

Quenching de métastabilité (T11)

Pompage optique et double résonance (T12 à T13)

Relaxation des ions piégés (T14 à T17)

Pompage optique des ions piégés. Caractéristiques originales (T18 à T23)

Exemples de résultats obtenus en spectroscopie microonde

Ions  ${}^3He^+$  (T24)

Ions  ${}^{199}Hg^+$  (T25 à T26)

Ions  ${}^{171}Yb^+$  (T27 à T28)

Ions  ${}^{137}Ba^+$  et  ${}^{135}Ba^+$  (T29 à T30)

Ions  ${}^{25}Mg^+$  (T31)

Ions  ${}^9Be^+$  (T32)

Références

- (1) - D.J. Wineland, R.E. Drullinger, F.L. Walls, Phys. Rev. Lett. 40, 1639 (1978)
- (2) - R.E. Drullinger, D.J. Wineland, J.C. Bergquist, Appl. Phys. 22, 365 (1980)
- (3) - D.J. Wineland, W.M. Itano, Physics Letters 82A, 75 (1981)
- (4) - W. Nagourney, G. Janik, H. Dehmelt, Proc. Natl. Acad. Sci. USA, 80, 643 (1983)
- (5) - F. Plumelle, M. Desaintfuscien, M. Jardino, P. Petit, soumis à Appl. Phys. (1985)
- (6) - J.J. Bollinger, T.S. Wells, D.J. Wineland, W.M. Itano, Phys. Rev. A31, 2711 (1985)
- (7) - H.G. Dehmelt, F.G. Major, Phys. Rev. Lett. 8, 213 (1962) et Phys. Rev. 170, 91 (1968)
- (8) - H.A. Schnetzer, E.N. Fortson, H.G. Dehmelt, Phys. Rev. 187, 5 (1969)
- (9) - M.H. Prior, E.C. Wang, Phys. Rev. Lett. 35, 23 (1975) et Phys. Rev. A16, 6 (1977)
- (10) - D.J. Wineland, W.M. Itano, J.C. Bergquist, J.J. Bollinger, J.D. Prestage  
Symposium A. Kastler 1985 Annales de Physique à paraître
- (11) - W. Ruster, J. Bonn, P. Peuser, N. Trautmann Appl. Phys. B30, 83 (1983)
- (12) - D.J. Wineland, J.C. Bergquist, W.M. Itano, R.E. Drullinger, Optics Lett. 5, 245 (1980)
- (13) - F.G. Major, G. Werth Phys. Rev. Lett. 30, 1155 (1973) et Appl. Phys. 15, 201 (1978)
- (14) - M. Jardino, M. Desaintfuscien, F. Plumelle J. de Physique 42, C8-327 (1981)
- (15) - M. Jardino, M. Desaintfuscien, R. Barillet, T. Viennet, P. Petit, C. Andouin  
Appl. Phys. 24, 107 (1981)
- (16) - L.S. Cutler, R.P. Gifford, M.D. McGuire, Proc 13th Annual PTTI, p. 563 (1981)
- (17) - D.J. Wineland, W.M. Itano, J.C. Bergquist, F.L. Walls, Proc. 35th Ann. Freq. Control Symp. p. 602 (1981)
- (18) - G. Werth, Atomic Physics 9 (Van Dyck and Fortson eds), World Scientific 1985, p. 28
- (19) - R. Blatt, H. Schmitz, G. Werth Phys. Rev. Lett. 48, 1601 (1982)
- (20) - W. Becker, R. Blatt, G. Werth, Precision Measurement and Fundamental Constants II  
(Taylor and Phillips eds) NBS Special publication 617, p. 99 (1984)
- (21) - D.J. Wineland, W.M. Itano, R.S. Van Dyke, Adv. At. Mol. Phys. 19, 135 (1983)

Spectroscopie optique de  $Mg^+$ 

Raie de résonance analogue à celle d'un alcalin (doublet  $D_1, D_2$ )

$$D_1 \quad 3s \ ^2S_{1/2} \leftrightarrow 3p \ ^2P_{1/2} \quad 280 \text{ nm}$$

$$D_2 \quad 3s \ ^2S_{1/2} \leftrightarrow 3p \ ^2P_{3/2} \quad 279,5 \text{ nm}$$

$$\text{Largeur naturelle } \Gamma/2\pi = 43 \text{ MHz}$$

Sources laser

Obtenues par doublage de fréquence d'un laser à colorant par un cristal d'ADP

Premières expériences (Piège de Penning)

Mise en évidence du refroidissement laser par détection bolométrique de T (Voir référence (1) et transparent 16 du cours III.)

Amélioration de l'expérience

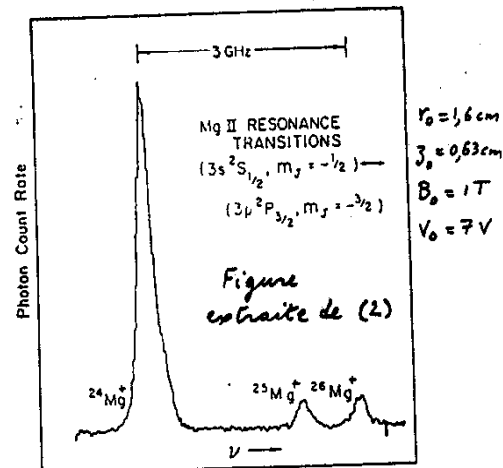
Utilisation de 2 lasers

Le premier refroidit

Le second, beaucoup moins intense, permet d'analyser la forme de raie ou de faire de la spectroscopie

Exemple de résultats expérimentaux (2)

Laser de refroidissement réglé sur  $^{24}Mg^+$ .  
Fréquence  $\nu$  du laser d'analyse balayée



Les ions  $^{26}Mg^+$  et  $^{25}Mg^+$  ne sont pas refroidis directement, mais par collisions avec les ions  $^{24}Mg^+$  qui sont refroidis en permanence par le laser 1.  
Mesure des déplacements isotopiques. (A cause du pompage optique, on ne voit qu'une raie de  $^{25}Mg^+$ )

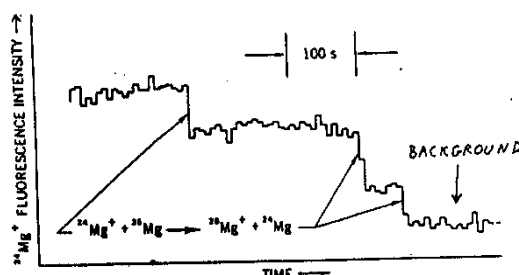
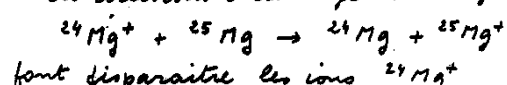
Observation d'un ion  $Mg^+$  unique (3)

Figure extraite de (3)

Mode opératoire

On fait sortir les ions  $^{24}Mg^+$  un par un en introduisant des atomes neutres  $^{25}Mg$ .

Les collisions d'échange de charge



font disparaître les ions  $^{24}Mg^+$

(Les ions  $^{25}Mg^+$  sont éjectés par excitation de leurs résonances cyclotron et magnétron)

Décroissance par paliers de la fluorescence

Meure de T sur un ion  $^{24}Mg^+$  unique (4)

Laser de refroidissement 5 μW, angle de 82° avec O<sub>3</sub>, décalé de 15 μm du centre pour favoriser les régions où le mouvement magnétron éloigne l'ion du laser.

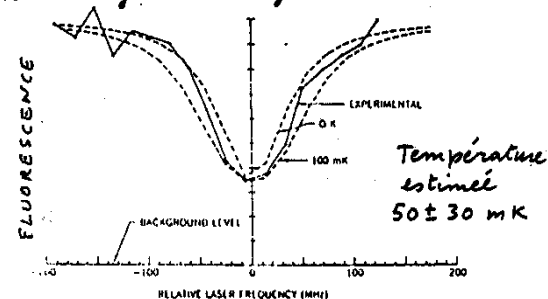


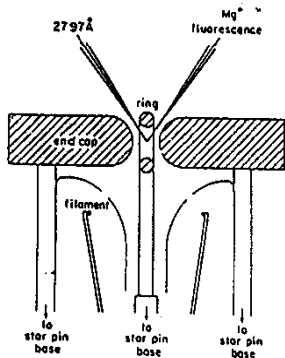
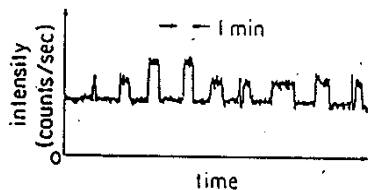
Figure extraite de (3)

Le 1<sup>er</sup> laser est réglé sur la transition  $2S_{1/2}, M = -1/2 \leftrightarrow 2P_{1/2}, M = -3/2$ , et pompe les atomes dans le niveau  $2S_{1/2}, M = -1/2$ .

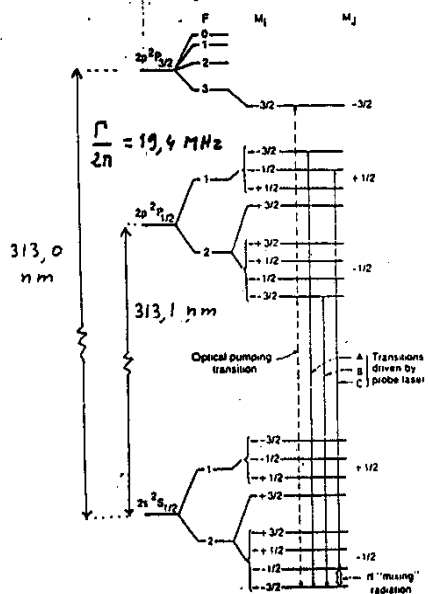
Le 2<sup>nd</sup> laser excite faiblement la transition  $2S_{1/2}, M = -1/2 \leftrightarrow 2P_{1/2}, M = -1/2$ , et est balayé lentement. On enregistre les modifications qu'il provoque sur la fluorescence du 1<sup>er</sup> laser.

Ions  $^{24}\text{Mg}^+$  dans un piège de Paul (5)

Figures extraites de (4)

Montage expérimental

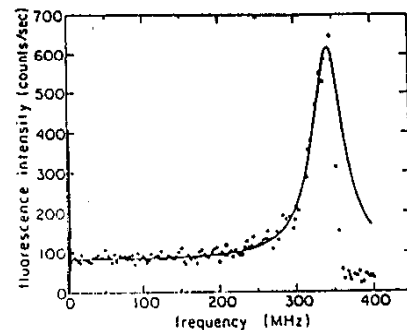
Détection de 1 ou 2 ions piégés

Spectroscopie optique de  $^9\text{Be}^+$   
Intérêt : système à 3 électronsFigure  
extraite  
de (6)

Comme pour  $^{24}\text{Mg}^+$ , 2 lasers (doublez en fréquence), l'un pour refroidir, l'autre pour analyser. Le refroidissement permet d'affiner les raies et de résoudre les structures

Mesure de la température d'un seul ion (6)

(Figure extraite de 4)

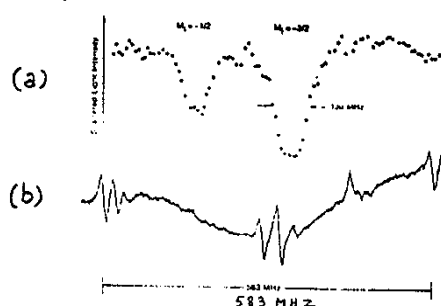


Un seul laser est utilisé, et balayé par fréquences croissantes. Quand  $\nu > \nu_0$ , l'ion est chauffé et sort du piège. Seule, la partie  $\nu < \nu_0$  du balayage peut être utilisée pour estimer  $T$  ( $\sim 10 \text{ mK}$ )

Expérience analogue faite à Oroay pour comparer l'efficacité du refroidissement laser dans des pièges de Paul et de Penning (référence 5)

Exemple de résultats obtenus sur  $^9\text{Be}^+$  (8) $B_0 \approx 1.136 \text{ T}$  (Calibré précisément par une résonance de l'état fondamental)

Figure extraite de (6)



(a) Variations de la fluorescence quand le laser d'analyse est balayé autour des fréquences des raies A et C

(b) Signal de calibration de l'onde I<sub>2</sub>  
Résultats obtenus (à partir de ces résonances)

- Mesure absolue de  $\nu(D_1)$  et  $\nu(D_2)$
- Ecart de structure fine
- Constante hyperfine  $A_{1/2}$  du niveau excité  $^2\text{P}_{1/2}$

## Spectroscopie microonde ou RF des ions piégés

### Les problèmes à résoudre

Comme dans toute expérience de spectroscopie de ce type, il faut

#### ① Préparer le système

c.-à-d réaliser des différences de population importantes entre les 2 états de la transition

#### ② Détecter la transition

microonde ou RF entre les 2 états

#### Nécessité d'une détection sensible

Le nombre d'ions est si petit (au maximum  $10^6 \text{ à } 10^7 / \text{cm}^3$ ) qu'il est exclu de pouvoir détecter la transition sur la puissance microonde ou RF absorbée ou mise au cours de la transition

## Les méthodes utilisées

(10)

### ① Collisions avec des faisceaux de particules neutres polarisées

- Permettent de polariser les ions piégés (préparation du système)

Par exemple, les collisions d'échange de spin entre des ions  ${}^3\text{He}^+$  piégés et un jet d'atomes de Césium orientés par pompage optique permettent de transférer l'orientation de Cs à  ${}^3\text{He}^+$

- Permettent de détecter les transitions microonde ou RF (detection)

Par exemple, la vitesse de destruction de  ${}^3\text{He}^+$  par collisions d'échange de charge avec Cs dépend de l'état de spin de  ${}^3\text{He}^+$ . La transition microonde change cet état de spin, change donc le nombre d'ions piégés, et par suite le courant induit par le mouvement de ces ions sur les électrodes

Voir références (7), (8)

### ② Quenching de métastabilité

Méthode utilisée pour étudier des transitions microonde dans des niveaux métastables

Exemple de la transition hyperfine  $F=0 \leftrightarrow F=1$  de l'état métastable  $2s\ ^2S_{1/2}$  de  ${}^3\text{He}^+$  (voir référence 9)

①. L'excitation de la résonance de Lamb  $2s(F=1) \leftrightarrow 2P_{1/2}(F=0,1)$ , suivie rapidement de l'émission spontanée d'un photon Ly  $\alpha$ , permet de "vider" sélectivement  $2s(F=1)$  (Phase de préparation)

② Transitions résonnantes entre  $2s(F=0)$  et  $2s(F=1)$ .

(Excitation de la résonance microonde)

③ De nouveau, excitation de la résonance de Lamb  $2s(F=1), 2P_{1/2}(F=0,1)$  et détection des photons Lyman  $\alpha$

(Détection du nombre d'ions passés de  $2s, F=0$  à  $2s, F=1$ )

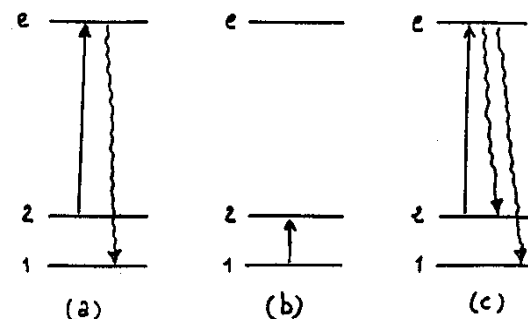
### ③ Pompage optique et double résonance

#### Principe de la méthode

a) Accumulation des ions dans un sous-niveau 2 de l'état fondamental, par pompage optique avec une lumière (de fréquence et de polarisation bien définies)

b) Transition microonde  $1 \rightarrow 2$

c) Détection optique de la transition par modification de la fluorescence excitée à partir de 2



### Conditions à remplir pour que la (13) méthode soit efficace

- Il faut disposer d'une source lumineuse à la bonne longueur d'onde (lampe ordinaire, ou mieux, source laser qui permet en plus de refroidir les ions)
- Le temps de relaxation doit être plus long que le temps de pompage optique (pour que les différences de population soient aussi grandes que possible)
- Chaque transition microonde ou RF doit entraîner un changement  $\Delta N$  du nombre de photons optiques de fluorescence (on a intérêt à rendre  $\Delta N$  aussi grand que possible)
- Il faut éviter les niveaux piéges qui font sortir les atomes du circuit (ou alors, il faut recycler les atomes avec une deuxième excitation laser ou microonde)

### (2) Collisions ion-ion

- Au cours d'une telle collision, chaque ion "voit" un champ électrique produit par l'autre, et dépendant du temps à cause du mouvement relatif
- Ce champ électrique peut induire des transitions dipolaires électriques (par exemple, vibration-rotation d'un ion moléculaire)
  - Le champ magnétique motional,  $\vec{B} = -\vec{v} \times \vec{E}/c^2$ , associé à ce champ électrique, agit sur les moments magnétiques des ions, et peut induire des transitions dipolaires magnétiques
  - Le temps de corrélation de ces perturbations dépendant du temps est de l'ordre de  $\tau_c = d/v$
  - d : distance minimum d'approche
  - v : vitesse relative

### Relaxation des ions piégés (14)

#### Differences avec les autres méthodes

(par exemple, décharge dans une cellule)

- Elimination des collisions avec les parois du récipient
- Il n'est plus nécessaire d'avoir recours à un "gaz tampon" à pression élevée pour protéger l'ion des parois

#### Les mécanismes essentiels de relaxation (reference 10)

##### ① Collisions ion-neutre

Possibilité d'opérer à des pressions très faibles ( $p \leq 10^{-10}$  Torr), où le nombre de neutres du gaz résiduel est inférieur à  $3 \cdot 10^6 / \text{cm}^3$

↳ Temps de relaxation très longs (de plusieurs minutes)

Possibilité de descendre encore plus bas en pression avec des méthodes cryogéniques

### Distance minimum d'approche (15)

- Ordre de grandeur de d

$$\frac{q^2}{4\pi\epsilon_0 d} \sim \frac{3}{2} k_B T \leftarrow \text{Température des ions}$$

$$\hookrightarrow \frac{d}{a_0} = \frac{\text{Rydberg}}{k_B T} \quad a_0: \text{Rayon de Bohr}$$

Pour des ions refroidis,  $d \gg a_0$

(Rydberg  $\sim 13 \text{ eV}$ ,  $k_B T \sim 10^{-4} \text{ eV}$  pour  $T = 1^\circ\text{K}$ )

#### Inefficacité de la relaxation par collisions ion-ion

- Les champs  $\vec{E}$  et  $\vec{B} = -\vec{v} \times \vec{E}/c^2$  sont trop faibles ( $a_0 \ll d$ )
- Quand  $T \downarrow$ ,  $d \uparrow$  et  $v \downarrow$ , de sorte que  $\tau_c = d/v$  devient trop long
- Le spectre de Fourier de la perturbation, limité à  $1/\tau_c$ , ne contient plus de composantes pouvant induire des transitions de fréquence  $\Delta\nu$  élevée ( $\Delta\nu \gg 1/\tau_c$ ), par exemple des transitions de vibrations-rotations d'un ion moléculaire

### Consequences de l'inefficacité de la relaxation par collisions ion-ion (17)

- ① Raies de résonance très fines, non élargies par collisions
- ② Couplage très faible entre les degrés de liberté hyperfins, de vibration rotation... et les degrés de liberté de translation  
(Si ce couplage était plus fort, il serait possible de détecter, par la méthode bolométrique, le changement de température de translation produit par une résonance microonde ou RF)
- ③ Difficulté de sortir (par collisions ion-ion) d'un niveau métastable piége (par exemple  $^2D_{3/2}, 5/2$  pour  $Ba^+$ )

Nécessité d'utiliser une autre excitation laser, ou des collisions avec un gaz neutre ( $\delta$  et  $T_c$  sont beaucoup plus petits) qui "quenche" la métastabilité [voir par exemple ref. (11)]

### Pompage optique d'ions piégés (18)

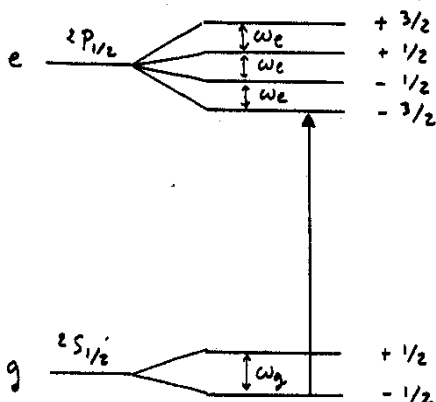
#### Caractéristiques originales

- ① Si les ions sont refroidis, la largeur Doppler est plus petite que la largeur naturelle. La section efficace d'absorption est très grande pour un rayonnement monochromatique (beaucoup plus grande que dans une vapeur ou une décharge)
- ② Comme le temps de relaxation est très long, possibilité de pompage quasi-total même si le rayonnement incident n'est pas résonnant (même si le temps de pompage est de plusieurs secondes, il reste très court devant le temps de relaxation)
- ③ Le passage de l'ion d'un sous-niveau à l'autre de l'état fondamental peut faire varier de manière spectaculaire le nombre de photons de fluorescence  
↳ Détection optique très efficace  
(Références (10) et (12))

### Etude d'un exemple concret [ref. 12]

Transition  $^2S_{1/2} \leftrightarrow ^2P_{1/2}$  de  $^{24}Mg^+$  (19)

Laser perpendiculaire au champ magnétique statique  $\vec{B}_0$ . Polarisation  $\sigma$



$\omega_g, \omega_e$ : Effet Zeeman dans  $g, e$   
 $\omega_g, \omega_e \gg \Gamma$

Fréquence du laser accordé sur la fréquence de la transition

$$g, -1/2 \leftrightarrow e, -1/2$$

### Mécanisme du pompage (20)

Ion initialement dans  $g, -1/2$

- Le laser  $\sigma$  excite de manière résonante la transition vers  $e, -3/2$ . Mais l'atome ne peut ensuite retomber que dans le même sous-niveau  $g, -1/2$
- Excitation non résonante de la transition  $g, -1/2 \leftrightarrow e, +1/2$  (désaccord  $2\omega_e$ ). L'atome peut retomber dans  $g, +1/2$

Ion initialement dans  $g, +1/2$

- La seule transition efficace pour pomper est  $g, +1/2 \leftrightarrow e, -1/2$  (désaccord  $\omega_g - \omega_e$ ). L'atome peut retomber dans  $g, -1/2$

Comme  $\frac{\omega_g - \omega_e}{2\omega_e} = \frac{1}{4}$ , la vitesse de pompage  $g, +1/2 \rightarrow g, -1/2$  (via  $e, -1/2$ ) est 16 fois plus grande que la vitesse de pompage  $g, -1/2 \rightarrow g, +1/2$  (via  $e, +1/2$ )

Propriétés intéressantes

(21)

- ① Le pompage est très lent puisqu'il est non résonnant ( $\omega_0 = 36,6 \text{ GHz}$ ,  $\omega_g - \omega_e = 9,15 \text{ GHz}$  si  $B_0 = 1 \text{ T}$ ), mais très efficace puisque  $16/17$  des atomes sont pompés dans  $g, -1/2$  (si  $T_{\text{rel}} \gg T_{\text{pomp}}$ )
- ② Les atomes sont pompés dans le niveau qui absorbe et réemet le plus de photons (sur la transition résonante  $g, -1/2 \rightarrow e, -3/2$ )  
 $\Gamma/2$  photons de fluorescence par unité de temps à saturation
- ③ Si l'ion passe de  $g, -1/2$  à  $g, +1/2$  par absorption d'un photon microonde, il met ensuite un temps,  $T_{\text{pompage}}$ , pour retourner de  $g, +1/2$  à  $g, -1/2$ . Pendant ce temps, l'ion cesse d'émettre  $\Gamma/2$  photons par seconde sur la transition  $g, -1/2 \rightarrow e, -3/2$

Efficacité de la détection

(22)

- L'absorption d'un photon microonde entraîne l'absence d'environ  $\Delta N \sim \frac{\Gamma}{2} T_{\text{pompage}}$  photons optiques de fluorescence
  - Non seulement chaque photon optique transporte une énergie beaucoup plus grande que le photon microonde, mais on observe l'absence de  $\Delta N$  photons optiques
- Rendement énergétique de la détection
- $$\rho = \frac{h\nu_{\text{optique}}}{h\nu_{\text{microonde}}} \times \Delta N$$
- $\rho$  peut atteindre  $10^{12}$  !
- L'intérêt d'avoir  $T_{\text{pompage}}$  long, tout en saturant la transition  $g, -1/2 \rightarrow e, -3/2$  apparaît clairement  
 $\Delta N$  peut atteindre  $10^6$
  - $\Delta N$  compense largement les pertes à la détection des photons de fluorescence (angle solide, rendement quantique...)

Comparaison avec un pompage plus traditionnel (de type "dépopulation")

Le plus souvent, le pompage vide rapidement (temps de l'ordre de  $\Gamma^{-1}$  à saturation) le sous-niveau de l'état fondamental d'où part la transition résonante avec le laser

1<sup>er</sup> inconvénient

La fluorescence diminue considérablement, et donc aussi le refroidissement radiatif

2<sup>me</sup> inconvénient

L'absorption (ou l'émission) d'un photon microonde remet l'atome dans le niveau absorbant, mais il en repart très vite, de sorte que

$$\Delta N \sim P T_p \sim 1$$

Expériences sur  ${}^3\text{He}^+$ 

(24)

- Réalisées il y a environ 20 ans (voir références (7) et (8))  
 Ont ouvert la voie et montré l'intérêt de l'étude des ions piégés
  - Ont permis de déterminer la structure hyperfine de l'état fondamental  $1S, {}^2S_{1/2}$   
 $\Delta\gamma(1S, {}^2S_{1/2}) = 8665649867 \text{ Hz} \pm 10 \text{ Hz}$
  - Des expériences ultérieures ont permis de mesurer la même structure dans l'état métastable  $2S$  (voir référence (9))  
 $\Delta\gamma(2S, {}^2S_{1/2}) = 1083,354969 (\pm 30) \text{ MHz}$
- Intérêt d'une telle mesure
- La quantité  $8\Delta\gamma_2 - \Delta\gamma_1$  est très peu sensible aux corrections liées à la structure nucléaire, tout en restant plus sensible aux corrections électrodynamiques

Expériences sur  $^{199}\text{Hg}^+$ 

(25)

Intérêt de cet ion

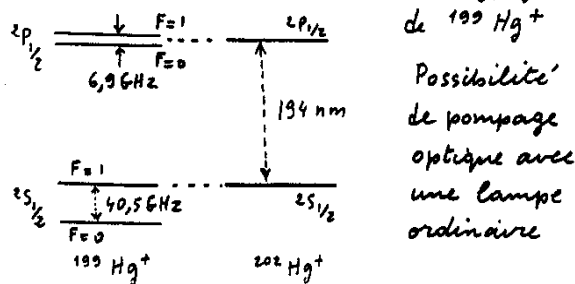
- (1) Très grande structure hyperfine de l'état fondamental (40,5 GHz)  
 ↳ Transition de  $\varphi = \frac{\nu}{\Delta\nu}$  élevé

- (2) Masse élevée. Pour une température donnée, l'effet Doppler du 2<sup>me</sup> ordre varie comme  $1/\sqrt{T}$

$$\frac{\Delta\nu}{\nu} \sim \frac{v^2}{c^2} \sim \frac{Mv^2}{Mc^2} \sim \frac{k_B T}{Mc^2}$$

Même sans refroidissement laser, pour  $k_B T \sim 1\text{eV}$ ,  $\Delta\nu/\nu \sim 5 \cdot 10^{-12}$

- (3) Coïncidence accidentelle de la raie de  $^{202}\text{Hg}^+$  avec une composante hyperfine

Résultats obtenus

(26)

- Obtention de résonances hyperfinies avec des largeurs de l'ordre du Hertz
- Observation de bandes latérales sur la transition hyperfine, dues au mouvement de l'ion
- Réalisation de standards de fréquence, de performances comparables à celles du standard à Cs

Voir références (13) à (16)

Propositions sur  $^{201}\text{Hg}^+$ 

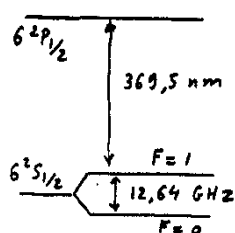
- Piège de Penning et utilisation d'une transition indépendante du champ magnétique  $B_0$  au 1<sup>er</sup> ordre
- Utilisation d'une source laser pour pomper et refroidir

Espoir d'arriver ainsi à une stabilité de fréquence de  $10^{-15}$  sur 1 sec  
 (Voir référence (17))

Expériences sur  $^{171}\text{Yb}^+$ 

(27)

(Voir références (19) et (20))

Niveaux d'énergie

- Pompage optique par un laser à colorant en impulsions
- Détection par double résonance

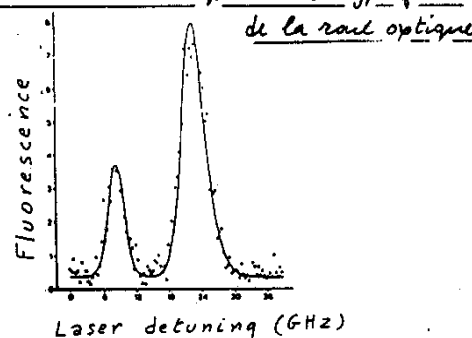
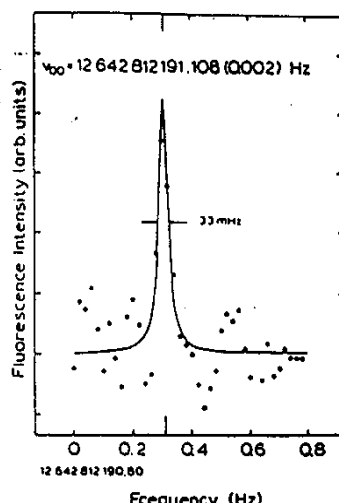
Résolution des 2 composantes hyperfinies de la raie optique

Figure extraite de (19)

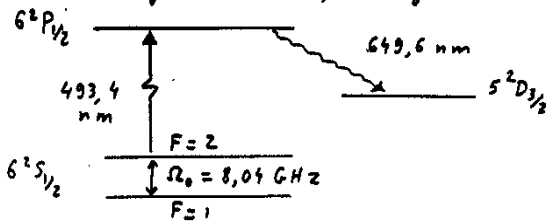
Exemple de résonance hyperfine (28)  
 très étroite obtenue par la méthode de double résonance

Figure extraite de (19)



$$\varphi = \frac{\nu}{\Delta\nu} \sim 3,8 \cdot 10^{11}$$

Expériences sur  $^{137}\text{Ba}^+$  et  $^{135}\text{Ba}^+$  (29)  
(Référence (20)) Piège de Paul



Pompage optique sur 493,4 nm par un laser à colorant en impulsion

Résonance microonde à  $\Omega_0 = 8,04 \text{ GHz}$

Détectio[n] de la fluorescence à 649,6 nm

Probabilité de transition  $F=1 \rightarrow F=2$  dans l'intervalle  $T$  entre 2 impulsions laser en fonction de la fréquence  $\Omega_2$  de la microonde

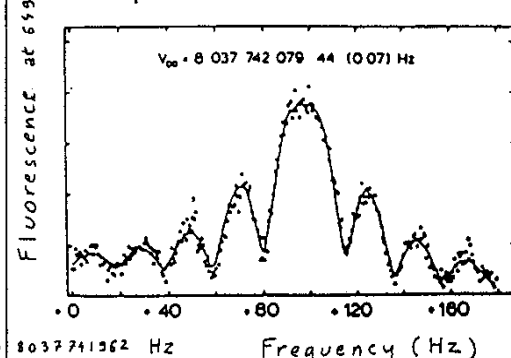
$$P = \frac{\Omega_1^2}{(\Omega - \Omega_0)^2 + \Omega_1^2} \sin^2 \left[ \frac{T}{2} \sqrt{(\Omega - \Omega_0)^2 + \Omega_1^2} \right]$$

$\Omega_1$ : Fréquence de Rabi microonde

Exemple de résultats obtenus sur  $^{137}\text{Ba}^+$

Figure extraite de (20)

$$\frac{1}{T} = 16,6 \text{ s}^{-1}$$



Courbe en traits pleins calculée à partir de la formule de Rabi (généralisé pour tenir compte des ions subissant l'action de la microonde pendant  $2T, 3T, 4T, 5T$ )

$$\Omega_0(^{137}\text{Ba}^+) = 8 037 741 667,69 (0,37) \text{ Hz}$$

Etude analogue sur  $^{135}\text{Ba}^+$

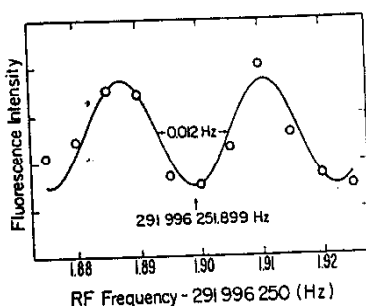
$$\Omega_0(^{135}\text{Ba}^+) = 7 183 340 239,35 (0,57) \text{ Hz}$$

Expériences sur  $^{25}\text{Mg}^+$

(31)

Figure extraite de (21). Voir aussi Itano, Wineland Phys. Rev. A24, 1364 (1981)

Résonance hyperfine d'ions  $^{25}\text{Mg}^+$  ( $I = 5/2$ ) dans un piége de Penning



Transition entre  $M_I = -3/2, M_J = 1/2$  et  $M_I = -1/2, M_J = 1/2$  dont la fréquence est indépendante du champ magnétique  $B_0$  au 1<sup>er</sup> ordre en  $B_0$ . Si  $B_0 = 1,24 \text{ T}$

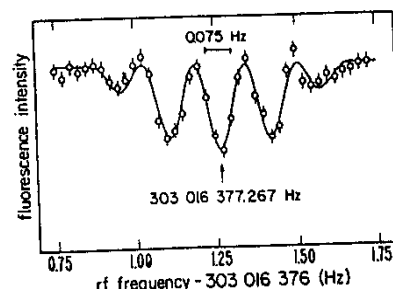
Franges de Ramsey temporelles obtenues en appliquant 2 impulsions RF de 1,02 sec séparées par 91,4 sec

Expérience analogue sur  $^9\text{Be}^+$

(32)

Figure extraite de (21). Voir aussi Wineland, Itano, Bergquist, Bollinger, Prestage in Atomic Physics 9 (Van Dyck and Fortson eds) World Scientific 1985 p. 3

Franges de Ramsey obtenues avec 2 impulsions RF de 2 sec séparées par 4 sec



2 transitions ont une fréquence indépendante de  $B_0$  au 1<sup>er</sup> ordre en  $B_0$

$$M_I = 3/2, M_J = -1/2 \leftrightarrow M_I = 1/2, M_J = -1/2 \quad B_0 = 0,63 \text{ T}$$

$$M_I = -3/2, M_J = 1/2 \leftrightarrow M_I = -1/2, M_J = 1/2 \quad B_0 = 0,82 \text{ T}$$

Mesure de  $B_0$  par observation de la résonance cyclotron sur des électrons

$$\hookrightarrow A = -625 008 837,048 (4) \text{ Hz}$$

$$g_I/g_J = 2,134 779 853 (1) \cdot 10^{-4}$$